

III-B338 CSG構造物の弾性波および表面波による速度分布特性

建設省土木研究所 正会員 豊田 光雄

1.はじめに

CSGは、現地発生材に少量のセメントを添加混合して強度増加を図り、改良盛立材料として用いるものである。本報文は、CSGの変形特性を把握するために、2種類の構造物で弾性波および表面波探査を行い、速度分布を比較検討した結果を述べるものである。

2.測定対象のCSG構造物

対象としたCSG構造物は母材が粘板岩である高さ1.2mの盛土（A構造物）と、母材が河床砂礫である高さ12mの二次締切堤（B構造物）である。図-1にA、B構造物の材料の粒度分布を示す。単位セメント量はいずれも 60kg/m^3 である。前者は、築造後28日と約1年経過後の測定で、後者は約4年経過後の測定である。

弾性波探査では屈折法により速度分布を求め、表面波探査では表面波より伝播速度 V_r を求め、 V_r の変化点に着目してDIXの式を利用して換算速度を求め、この値とP-S検層の V_s との相関が高いことを利用して V_s' を求めている¹⁾。

3.A構造物の測定結果と考察

A構造物は図-2に示すように段丘砂礫層上に厚さ30cmのCSG基盤を設け、そのうえに転圧厚さ40cmで3層締固めて築造したものである。

弾性波探査の測点は、縦断方向に10mの測線（横断方向5mの測線）を設け、受信間隔は0.5mづつとした。材令28日におけるP波およびS波の速度分布を図-3に示す。P波速度 V_p は水平の2層構造となっており、上位層が表層から0.2m深さまで $V_p=1200\text{m/s}$ を示し、それ以深が $V_p=1700\text{m/s}$ となっている。一方、S波速度 V_s も同様に2層となっており、第1層が $V_s=470\text{m/s}$ で第2層が $V_s=840\sim950\text{m/s}$ であった。縦断方向に測定した V_s は部分的にその大きさが異なった結果を示した。また、横断方向に測定した V_p 、 V_s も同様に2層構造を示し、その値も縦断方向とほぼ同じ値であった。なお、 V_s の値は一般的な砂礫層の値とほぼ同等である。図-4に表面波探査によるS波速度 V_s' を示す。 V_s' はCSGの部分で表層から深くなるに従いやや大きくなる値を示し、弾性波探査による V_s とほぼ一致している。A構造物の約1年後の V_s' は表層から約0.5mまで速度値は変わらないが、それより深いところで $V_s'=約$

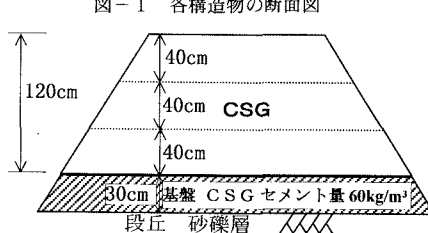
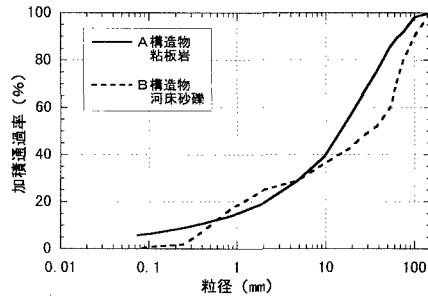
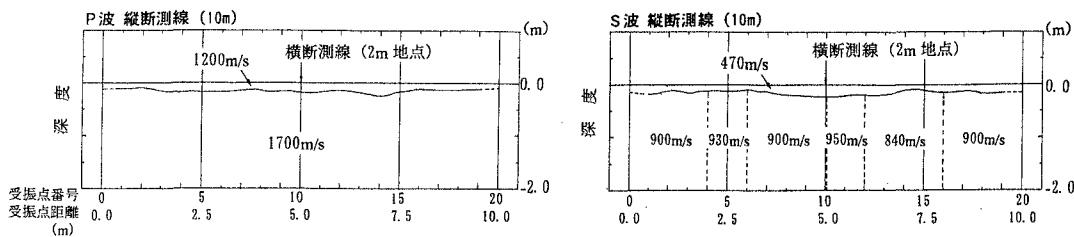


図-2 A構造物の断面図



キーワード：CSG、弾性波探査、表面波探査、P波、S波

連絡先：〒305-0804 茨城県つくば市旭一一番地 TEL0298-64-4326 FAX0298-64-0164

1,000m/sを示し、1年前の状態の約1.5倍になる場合もあり、経時変化によりCSGの剛性が高くなることを示している。

4. B構造物の測定結果と考察

B構造物の標準断面を図-5に示す。本構造物は約10m厚の河床砂礫上に築造されており、築造後、約4年を経ている。A構造物と同等の振動ローラを用いて約50cm厚さを転圧して築造したものである。弾性波探査の測線は

堤軸方向に68m(上下流方向に34m)を設け、受信点間隔は2m(上下流方向に1m)とした。

図-6は弾性波探査によって求めた上下流方向のVsとVsの分布である。表層から1.0~1.5mの深さまでの第1層はVs=2100~2200m/sec, Vs=800m/sec、それ以深(第2層)ではVs=3500~3600m/sec, Vs=1800m/secであった。図-7には、表面波探査のVsの分布とVsの分布を重ね合わせたものである。ほぼ同じ傾向が得られているが、Vsは深さ方向に一様な速度の増加がみられない。

5. 変形特性

Vp, Vsより求めるボアソン比、せん断弾性係数および弹性係数を表-1に示す。構造物の大きさの違い、経時変化など同一でないので単純な比較はできないが、時間経過が大きいB構造物の変形特性はA構造物よりかなり大きい。

6.まとめ

2つのCSG構造物において弾性波探査および表面波探査により求めた速度分布から次のことがわかった。

- 1) 堤高によらず、2層構造の速度分布がみられた。
- 2) 盛立後から約1年の時間が経過すると速度値が大きくなり、CSGの剛性が高くなる。
- 3) 表面波探査によって構造物のS波分布Vs'を細かく測定でき、その結果は弾性波探査とほぼ同じ値である。

今後、上記結果と材令による強度変化との関係について検討を加えていきたい。

参考文献

- 1) 高屋ほか5名: S波速度決定における表面波探査の有効性、第8回国土地震工学シンポジウム、1990

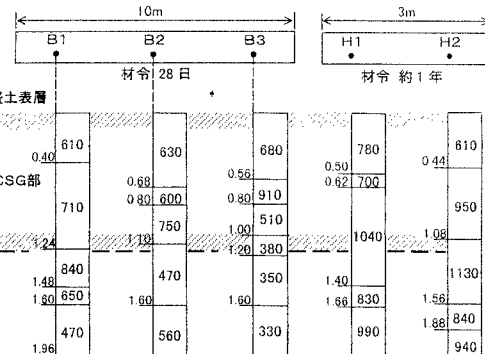


図-4 A構造物の表面波探査による速度分布

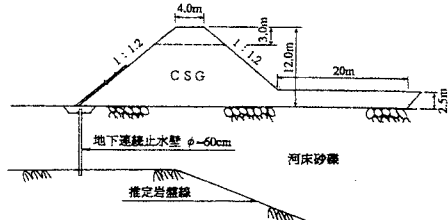


図-5 B構造物の標準断面

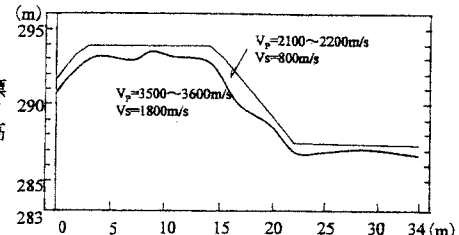


図-6 B構造物の上下流方向の速度分布

表-1 P波及びS波から求めた変形特性

構造物		$\rho_d(t/m^3)$	ν	$G_d(MPa)$	$E_d(MPa)$
A	第1層	2.0	0.39	520	1451
	第2層		0.29~0.39	1010~1696	2813~4382
B	第1層	2.1	0.42	1343	3823
	第2層		0.33	6765	18039

ρ_d : 密度, ν : ボアソン比, G_d : せん断弾性係数, E_d : 弾性係数

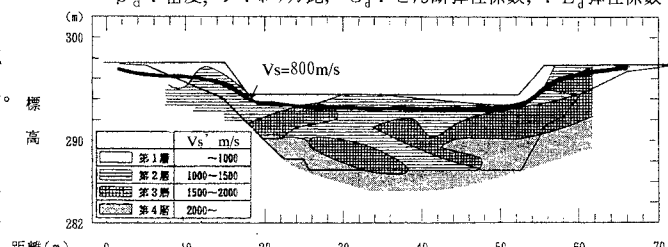


図-7 B構造物の堤軸方向速度分布(弾性波探査と表面波探査による重ね合わせ)